# 顺酐常压催化加氢制 γ-丁内酯

李 君 蒋 毅 程极源\* 王华明 (中国科学院成都有机化学研究所天然气开放实验室 成都 610041)

摘 要 探讨了一系列价格低廉的顺酐加氢制 V-丁内酯的  $Cu/Z_{nO}/Al_2O_3$ 催化剂,并运用 XRD TPR等技术对催化剂活性与物理性能的关系进行了探讨,结果表明,不同的 n(Cu)/n(Zn)、不同的 焙烧温度可形成不同的比表面积、孔容、孔半径和不同的晶格缺陷,从而具有不同的催化活性和选择性.

关键词 顺丁烯二酸酐, V-丁内酯,催化加氢

中图分类号: 0621.2

近年来,由于正丁烷氧化制顺酐(顺丁烯二酸酐)实现了大规模的工业生产,使得顺酐的生产成本变得低廉  $^{[1]}$ ,从顺酐催化加氢制造  $^{[1]}$  内酯。 $^{[1]}$ ,从顺酐催化加氢制造  $^{[1]}$  内酯。 $^{[1]}$ ,从顺酐催化加氢制造  $^{[1]}$  内酯。 $^{[1]}$  几一万个工,在石油化工。医药 染料及农药等方面应用极大的关注  $^{[2]}$  几一万个工,在石油化工。医药 染料及农药等方面应用广泛,近年来在合成吡咯烷酮系列产品中用量甚大,并且  $^{[1]}$  一种性能优良的高沸点溶剂,具有高导电性。强溶解性和高稳定性等优点。  $^{[1]}$  一个工,内酯的制造方法主要有 Reppe 法 丁二醇脱氢环化法 糠醛法 顺酐加氢法(直接加氢或酯化加氢法)。其中顺酐加氢法近年才开发研究,是最具发展前景的方法  $^{[3]}$  . 顺酐催化加氢开发其下游产品已引起人们注意,但研究多以专利形式报道  $^{[4,5]}$  . 本文考察了工业上应用较多的价格低廉的  $^{[4,5]}$  。本文考察了工业上应用较多的价格低廉的  $^{[4,5]}$  。本文考察了工业上应用较多的价格低廉的  $^{[4,5]}$  。不同的比表面积 孔容,其活性不同;并采用  $^{[4,5]}$  不同的比表面积 孔容,其活性不同;并采用  $^{[4,5]}$  不同的比表面积 孔容,其活性不同;并采用  $^{[4,5]}$  不可不同的比表面积 孔容,其活性不同;并采用  $^{[4,5]}$  不可不可以,不同的比表面积,孔容,其活性不同;并采用  $^{[4,5]}$  不可以,不同的比表面积,孔容,其活性不同;并采用  $^{[4,5]}$  不可以,不同的比表面积,孔容,其活性不同;并采用,以及  $^{[4,5]}$  不可以,不同的比表面积,孔容,其活性不同;并采用,以及  $^{[4,5]}$  不可以,不同的比表面积,孔容,其活性不同;并采用,以及  $^{[4,5]}$  不可以,不同的比表面积,孔容,其活性不同;并采用,以及  $^{[4,5]}$  不可以,不同的比表面积,孔容,其活性不同;并采用,以及  $^{[4,5]}$  不可以,不同的比表面积,,其活性不同;并采用,以及  $^{[4,5]}$  不可以,不同的比表面积,,其活性不同;并采用,以及  $^{[4,5]}$  不可以,不同的比表面积,,其活性不同;并采用,以及  $^{[4,5]}$  不可以,不同的比表面积,,其活性不同;并采用,以及  $^{[4,5]}$  不可以,不同的比表面积,,其活性不同;并采用,以及  $^{[4,5]}$  不可以,不同的比表面积,,其流性不同;并采用,以及  $^{[4,5]}$  不可以,不同的比表面积,,其流性不同;并采用,  $^{[4,5]}$  不可以,不同的比表面积,,其流性不同;并采用,  $^{[4,5]}$  不可以,不同的比表面积,,其流性不同;并采用,  $^{[4,5]}$  不可以,不同的比表面积,,其流性不同;并采用,以及  $^{[4,5]}$  不可以,不可以,如  $^{[4,5]}$  不可以,不可以,如  $^{[4,5]}$  不可以,如  $^{[4,5]}$  ,不可以,如  $^{[4,5]}$  ,如  $^{[4,$ 

### 1 实验部分

#### 1.1 催化剂的制备

所 用顺酐 ( M A H) V 丁内酯 ( V-BL) (崇州有机化工厂提供 ),纯度 > 99. 5% , 14 ,纯度 > 99. 7% . 其它试剂均为分析纯 .

#### 1.2 催化剂表征与活性考察

日本理学  $D/\max-rA$  12KW 转靶 X 射线衍射仪, Cu 靶 石墨单色器, 步进扫描, X-Y 描绘仪作图. TPR实验装置包括色谱仪, 反应炉, 程序升温控制系统和记录仪.将 20 mg 催化剂

( $\bigcirc$  0.300~ 0.995 mm)装入反应炉,通入流速为 20 m L/min的混合气 ( $V(\Beta)$ :  $V(\Beta)$ 2) = 3:97)吹扫 30 min,进行还原,升温速率为 10 K/min,用热导池检测混合气中  $\Beta$  含量的变化.反应采用常压固定床流动法,反应管为长 150 mm,内径 17 mm 硬质玻璃管.催化剂装入量为 8 m L,用不同浓度的  $\LaTeX$  气从 353 K到 503 K按一定程序升温还原 9 h 左右,升温至反应 温度,顺酐溶于  $\TeX$  内酯配成质量分数为 50% 的溶液进行反应.产物经冷凝后采样,采用上海分析仪器厂生产的 103型气相分析仪分析产物,热导池检测,色谱柱为  $\TeX$  Porapak-Q(乙基乙烯苯、二乙烯苯共聚);数据分析采用  $\TeX$  CDM  $\TeX$  C-1  $\TeX$  型色谱数据处理机.

## 2 结果与讨论

#### 2.1 不同 n(Cu) n(Zn)催化剂对顺酐加氢活性的影响

表 1是不同 n(Cu) m(Zn)催化剂的活性结果.研究表明 n(Cu) m(Zn)在较大摩尔比范围内 Cu Zn催化剂对顺酐加氢都有较好的活性.n(Cu) m(Zn)从 0.93增加到 6.77,催化剂活性都较好,转化率为 100%,V丁内酯收率随 n(Cu) m(Zn)增加而增加(但 3 催化剂例外,可能是由于其比表面积、孔半径过小,因而选择性低),醇含量下降.其中以 4 催化剂的活性和选择性为最好. Castiglioni等 6 曾认为在铜含量较高的共沉淀氧化物中,二价阳离子(如  $2n^{2}$ 、 $Cd^{2}$ 等)可以部分取代  $Cu^{2}$ ,形成尖晶石型晶相,因而具有加氢活性.因此 Cu含量越高,可能被  $Zn^{2}$  取代而产生尖晶石型晶相就越多。活性和选择性就越高.

Catalyst	n (Cu) h (Zn)	Conversion %	Product distribution ///		
			V-BL	Al cohol <sup>b</sup>	Aci d'
1#	0. 93	100	82. 21	2 55	0. 09
2*	1.00	100	83. 53	1. 03	2. 39
3#	1.30	100	76. 96	4. 71	0. 00
4#	6. 77	100	86, 22	0. 89	1. 34

Tab. 1 The effect of the n(Cu)/n(Zn) of catalyst on MAH hydrogenation

#### 2.2 不同焙烧温度对催化剂加氢活性的影响

本文在顺酐加氢反应研究中发现,同一催化剂在反应后重新还原再反应,活性和选择性都比第 1次好,推测焙烧温度对反应活性有影响. 将催化剂分别还原后进行活性考察结果表明,催化剂焙烧温度从 623 K到 673 K,V-丁内酯收率升高,当大于 673 K时 V-丁内酯收率略有下降(表 2). 这可能是在 673 K温度下 Zn² 更容易取代 Cu² 形成更多的尖晶石相,同时又能保持更大的比表面积和孔径;温度再高则导致催化剂比表面积和孔半径减小.

Catalyst	Calcining temperature/K	Conversion P/6	Product distribution 1%		
			$V_{-BL}$	Alcohol	Acid
3#	623 K(2h)	100	77. 16	2 63	-
<b>5</b> #	623 K(2 h)+ 673 K(1 h)	100	80. 57	1. 58	1. 20
<i>6</i> <sup>#</sup>	623 K(2 h)+ 673 K(2 h)	100	80. 83	1. 51	1. 29
#	623 K(2 h)+ 723 K(1 h)	100	80. 33	1. 64	1. 10
8#	623 K(2 h)+ 773 K(1 h)	100	80. 42	1. 61	1. 30

Tab. 2 The effect of calcining temperature of catalysts on catalytic activity

a· Reaction conditions n(H)/n(MAH) = 18, T = 543 K, space velocity of MAH 0.4 h<sup>-1</sup>; b· Total amount of propanol and butanol; c. Total amount of propionic acid and butyric acid. MAH maleic anhydride, V-BL V-butyrolactone.

n(Cu)/n(Zn)=1.30. The reaction conditions and abbrs. See Tab. 1.

#### 2.3 催化剂比表面积、孔结构对加氢活性的影响

表 3为催化剂的表面性质与顺酐加氢活性关系测试结果,催化剂是相同组分在不同温度焙烧而制得的.表 3数据揭示了随焙烧温度在一定范围升高,催化剂比表面积 孔容 孔半径增大,其加氢活性和选择性也提高,焙烧温度过高,比表面积又减小.分析表明孔径在 2~10 nm对比表面积贡献最大,有利于 V=丁内酯的生成.孔径过大,比表面积减小,反应物分子容易出入,使加氢活性不够,中间产物多,V=丁内酯选择性低;孔径过小,虽然有较大表面积,但有效表面积减小,并且反应物分子不易进入孔中,从而使活性降低,并且产物分子不易出来,发生深度加氢,造成选择性降低.

the catalyst in hydrogenation of maleic annydride							
Catalyst	S/(m <sup>2</sup> ° g <sup>-1</sup> )	Average pore size/nm	Pore Volume/(mL° g-1)	V–BL content /%			
<b>3</b> #	57. 14	6. 7	0. 14	76. 96			
<b>5</b> *	68. 02	7. 2	0.18	80. 57			
<b>6</b>	64. 58	7. 6	0. 19	80. 83			
~#	57 76	0.5	0.21	80.33			

Tab. 3 Relationship between surface characters and catalytic activity of the catalyst in hydrogenation of maleic anhydride

#### 2.4 XRD及 TPR

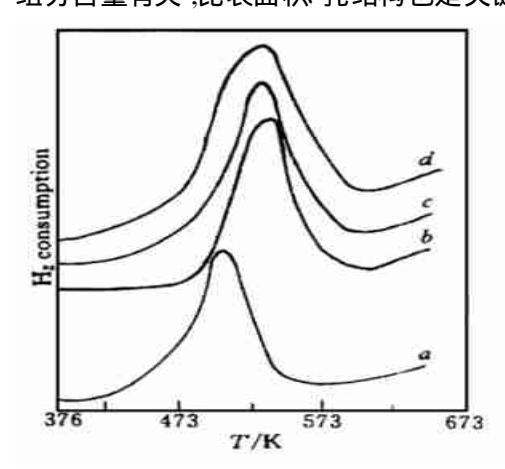


Fig. 1 T PR profiles of Cu /ZnO /Al<sub>2</sub>O<sub>3</sub> k(CuO) /%: a. 40. 20; b. 43. 03; c. 47. 41; d. 65. 75

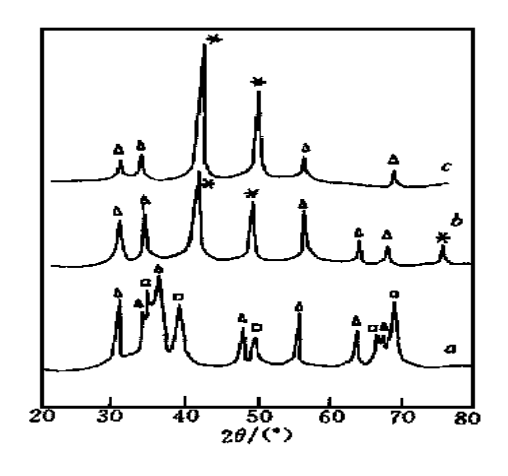


Fig. 2 X RD patterns of Cu/Zn/Al<sub>2</sub>O<sub>3</sub>

a. 2 catalyst(before reduction);

b. 2 catalyst(after reduction);

c. 4 catalyst(after reduction);

\* Cus \( \triangle \) ZnO; \( \triangle \) CuO

图 2是 XRD物相分析,表明催化剂在还原前,各金属均以氧化态形式存在(由于  $Al_2O_3$  以 无定形状态存在,谱图上未表现出其特征峰),还原后铜组分只表现出单质晶相 Cu 的特征峰,

说明 CuO已全部还原为单质 Cu; ZnO晶相未发生变化.氧化态和还原态都未出现新的化合态.为了考察铜含量不同时的还原情况,把  $2 \times 4$  催化剂还原后的 XRD谱图作比较,发现 CuO都全部还原,因此可以证实 TPR实验中 3 催化剂还原后得到的 Cu确实比  $1 \times 2$  催化剂的多 (前者 CuO含量比后两者高),但活性却不如后两者,说明该催化剂在顺酐加氢制 V-丁内酯所表现的活性和选择性不仅仅与 Cu质量分数有关,而且与比表面积 孔径也有关系,甚至是主要因素.

#### 参考文献

- 1 杨林森 (YANG Lin-Sen). 化工进展 (Huagong Jinzhan), 1990, (4): 21
- 2 Harris N, Tuck M W. Hydr Proc, 1990, (5): 79
- 3 孙荫辉 (SUN Yin-Hui). 现代化工 (Xiandai Huagong), 1991, (3): 22
- 4 Takamasa F, Noriko W, Tokuka G, et al. JP 06135952, JP 135953, 1994
- 5 Hiroyuki S, Atsushi F, Takashi O, et al. JP 0753539, 1995
- 6 Castiglioni G L, Fumagalli C, Lancia R, et al. Chem Indu, 1993, 13 510

# Catalytic Hydrogenation of Maleic Anhydride to γ-Butyrolactone Under Atmospheric Pressure

LI Jun, JIANG Yi, CHENG Ji-Yuan, WANG Hua-Ming (Laboratory of Natural Gas Chemistry, Chengdu Institute of Organic Chemistry, Chinese Academy of Sciences, Chengdu 610041)

Abstract Cu/ZnO/Al2O3 catalysts with different compositions were prepared for hydrogenation of maleic anhydride to V-butyrolactone at atmospheric pressure. Results showed that the difference in activity and selectivity of the catalysts was in relation to the molar ratio of Cu to Zn and calcining temperature of the catalysts in preparation, which affected the surface characters and amount of spinel-type phase. XRD and TPR techniques have been used to investigate the experimental results.

**Keywords** maleic anhydride, V-buty rolactone, catalytic hydrogenation